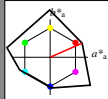


Eingabe: Farbmimetrisches Reflexions-System NCS11

für Buntonn $h^* = lab^*h = 24/360 = 0.066$
 lab^*ch und lab^*nch

D65: Buntonn R
 LCH[°]Ma: 47 92 24
 rgb[°]Ma: 1.0 0.0 0.0

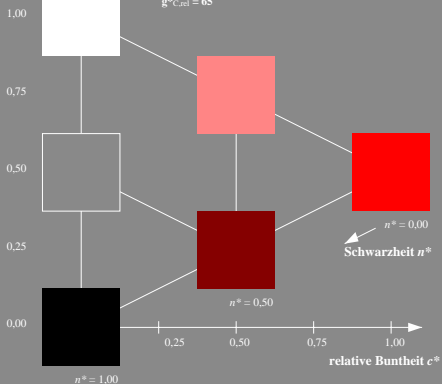


NCS11; adaptierte CIELAB-Daten

	L^*	a^*	b^*	$C^*_{ab,a}$	$h^*_{ab,a}$
RMa	47.15	84.64	37.25	92.48	24
JMa	91.37	-1.27	125.03	125.03	91
GMa	63.07	-114.28	25.35	117.06	167
G50BMa	59.47	-80.6	-33.45	87.28	203
BMa	49.01	3.65	-81.19	81.28	273
B50RMa	44.06	106.09	-73.93	129.32	325
NMa	10.99	0.0	0.0	0.0	0
WMa	95.41	0.0	0.0	0.0	0
RCIE	39.92	58.69	27.98	65.01	25
ICIE	81.26	-2.9	71.56	71.62	92
GCIE	52.23	-42.45	13.59	44.59	162
BCIE	30.57	1.35	-46.48	46.51	272

Dreiecks-Helligkeit t^*

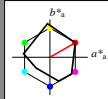
%Umfang
 $u^*_{rel} = 149$
 %Regularität
 $g^*_{H,rel} = 46$
 $g^*_{C,rel} = 65$



Ausgabe: Farbmimetrisches Reflexions-System MRS18

für Buntonn $h^* = lab^*h = 30/360 = 0.083$
 lab^*ch und lab^*nch

D65: Buntonn R
 LCH[°]Ma: 50 77 30
 rgb[°]Ma: 1.0 0.0 0.0



MRS18; adaptierte CIELAB-Daten

	L^*	a^*	b^*	$C^*_{ab,a}$	$h^*_{ab,a}$
RMa	49.63	66.96	38.37	77.18	30
JMa	90.7	-6.36	88.75	88.98	94
GMa	52.11	-69.73	9.44	70.37	172
G50BMa	45.03	-36.57	-28.47	46.36	218
BMa	36.65	23.19	-63.05	67.18	290
B50RMa	34.94	57.17	-44.26	72.31	322
NMa	18.01	0.0	0.0	0.0	0
WMa	95.41	0.0	0.0	0.0	0
RCIE	39.92	58.66	26.98	64.56	25
ICIE	81.26	-2.17	67.76	67.79	92
GCIE	52.23	-42.26	11.75	43.87	164
BCIE	30.57	1.15	-46.84	46.87	271

Dreiecks-Helligkeit t^*

%Umfang
 $u^*_{rel} = 91$
 %Regularität
 $g^*_{H,rel} = 41$
 $g^*_{C,rel} = 52$

